

УДК 544.463: 666.792.34: 669.27: 678.742.2: 535.34

DOI: 10.15372/KhUR20180506

## Модификация сверхвысокомолекулярного полиэтилена наноструктурными композитами $B_4C/W$ в условиях интенсивной механической активации

С. А. КОВАЛЕВА<sup>1</sup>, В. И. ЖОРНИК<sup>1</sup>, Т. Ф. ГРИГОРЬЕВА<sup>2</sup>, М. А. БЕЛОЦЕРКОВСКИЙ<sup>1</sup>, П. А. ВИТЯЗЬ<sup>1</sup>, А. Д. ДУБИНЧУК<sup>3</sup>, Н. З. ЛЯХОВ<sup>2</sup>

<sup>1</sup>Объединенный институт машиностроения НАН Беларусь,  
Минск (Беларусь)

E-mail: sveta\_kovaleva@tut.by

<sup>2</sup>Институт химии твердого тела и механохимии Сибирского отделения РАН,  
Новосибирск (Россия)

<sup>3</sup>Белорусский государственный университет,  
Минск (Беларусь)

### Аннотация

Методами рентгеновской дифракции, сканирующей электронной микроскопии, ИК-Фурье спектроскопии исследованы структурные превращения порошковой смеси сверхвысокомолекулярного полиэтилена и наноструктурного композита  $B_4C/W$ , обработанной в высокоэнергетической планетарной шаровой мельнице. Показано, что в процессе механоактивации формируются полимерные композиционные частицы чешуйчатой формы размером 160–400 мкм с равномерным распределением в них частиц карбида бора и вольфрама размером 1–5 и 0.1–0.2 мкм соответственно. Взаимодействие компонентов смеси при интенсивных механических деформациях сопровождается сшивкой и деструкцией молекул полимера и уменьшением его молекулярной массы. Существенной окислительной деструкции полимера при этом не происходит.

**Ключевые слова:** механическая активация, механокомпозиты, карбид бора, вольфрам, сверхвысокомолекулярный полиэтилен, ИК-Фурье спектроскопия

### ВВЕДЕНИЕ

Сверхвысокомолекулярный полиэтилен (СВМПЭ) отличается особенной комбинацией свойств: чрезвычайно высокая вязкость образца с надрезом, отличная работоспособность при повышенных рабочих скоростях, очень хорошие качества скольжения, малый износ, незначительные потери на трение, высокая устойчивость по отношению к воздействию химикатов (кислоты, щелочи, агрессивные газы), значительная стойкость к растрескиванию, очень хорошее шумогашение, широкий спектр применения вследствие температурной стойкости в диапазоне от –200 до 90 °С. Физико-механические свойства композиционных ма-

териалов на основе СВМПЭ определяются его атомным, молекулярным и надмолекулярным строением. Основополагающую роль в структурообразовании играют фазовое состояние, степень дисперсности фазы наполнителя, межфазная поверхность и взаимодействия на границе между индивидуальной частицей и полимерной средой, которые в значительной мере влияют на их распределение в матрице [1]. Экраны из композиционных материалов на основе СВМПЭ с наполнителями в виде бора (или его соединений) и тяжелых металлов (например, вольфрама) служат эффективной защитой от нейтронного и рентгеновского излучений. Непосредственное применение наноразмерных наполнителей вольфрама и карбида

бора сдерживается агломерацией наночастиц, плохой смачиваемостью и слабой адгезией наполнителя, а также низким показателем текучести расплава полимера из-за его высокой молекулярной массы. В этом плане перспективен метод формирования композитов, основанный на технологии твердофазного деформационного смешения. В результате интенсивной механической активации (МА) полимера с наполнителями может изменяться как его надмолекулярная структура (с уменьшением молекулярной массы), так и молекулярное строение (без разрыва внутримолекулярных связей) [2]. В условиях высоких напряжений, связанных с внешними нагрузками, проявляется и структурная нестабильность карбида бора [3].

Цель данной работы – исследование процесса формирования микроструктуры порошков полимерных композитов СВМПЭ/ $B_4C/W$  в условиях МА.

## ЭКСПЕРИМЕНТАЛЬНАЯ ЧАСТЬ

В качестве модификатора использован порошок композита  $B_4C/W$ , предварительно полученный механохимическим сплавлением исходных компонентов ( $B_4C$  и  $W$ ) с массовым соотношением 50 : 50. Средние размеры частиц исходных порошков карбида бора  $B_4C$  и вольфрама (марки ПВТ) составляли 40–60 и 4–6 мкм соответственно. Механохимическое сплавление проводили в планетарной шаровой мельнице АГО-2 с энергонапряженностью 7 Вт/г, в защитной атмосфере аргона, длительность обработки 4 мин.

При формировании композитов состава полимер/ $B_4C/W$  в качестве полимерной матрицы использовали порошок СВМПЭ марки GUR 4120 (производство Ticona GmbH) с молекулярной массой  $4 \cdot 10^6$  г/моль и размером частиц 100–160 мкм. Композиционные порошки СВМПЭ/ $B_4C/W$  получали путем механохимического синтеза в планетарной шаровой мельнице “Активатор 2S” с водяным охлаждением, в воздушной атмосфере. Объем барабана 250 см<sup>3</sup>, диаметр стальных шаров 9 мм, загрузка 370 г, навеска обрабатываемого образца 40 г, скорость вращения барабанов вокруг общей оси ~600 об/мин. Длительность обработки составляла 5, 10 и 25 мин.

Рентгенографические измерения проводили с помощью дифрактометра D8 Advance (Bruker, Германия) с использованием характеристического излучения медного анода рентгеновской трубки ( $CuK_{\alpha}$ ). Расчет и уточнение профильных и структурных параметров выполняли по методу наименьших квадратов с полнопрофильным анализом дифрактограмм. Исследования микроструктурных характеристик (размер кристаллитов  $L$ , микронапряжений  $\epsilon$ ) проводили с использованием методологии “дубль-Фойгт” (double Voight). Для разделения вкладов в уширение пиков от  $L$  использовали функцию Лоренца, от микронапряжений  $\epsilon$  – функцию Гаусса.

Микроструктуру и химический состав получаемых композитов исследовали с помощью сканирующего электронного микроскопа CamScan 4 (Oxford Instruments, Англия).

ИК-исследования выполнены с использованием ИК-Фурье спектрометра Nicolet iS10 (Thermo Scientific, США) методом нарушенного полного внутреннего отражения на кристалле алмаза в диапазоне частот 4000–400 см<sup>-1</sup>.

## РЕЗУЛЬТАТЫ И ОБСУЖДЕНИЕ

На первом этапе получен mechanocomposite карбид бора/вольфрам и изучена его микроструктура. По данным рентгенофазового анализа (РФА) с использованием ICDD PDF2 (рис. 1), композит содержит вольфрам (SG  $I\bar{m}3m$  (229)) с размером кристаллитов  $L_W \sim 37$  нм и карбиды бора  $B_4C$  и  $B_{10}C$  ( $R-3m$  (166)). В результате механической обработки из-за намола в смеси появляется железо ( $I\bar{m}-3m$  (229)) в количестве ~4 мас. % с размерами кристаллитов  $L_{Fe} \sim 8$  нм. Размер кристаллитов  $L_{B_4C}$  примерно равен 46 нм. Изменений в структуре вольфрама не обнаружено.

При механохимическом синтезе композита СВМПЭ/ $B_4C/W$  в течение 25 мин рентгенографически регистрируемый фазовый состав существенно не изменяется. Исходный СВМПЭ представляет собой аморфно-кристаллический полимер, в котором кристаллическая структура представлена орторомбической фазой с пространственной группой  $Pna\bar{m}$  (62). Интенсивность рефлексов СВМПЭ (№ 40-1995) значительно снижается уже после 5 мин

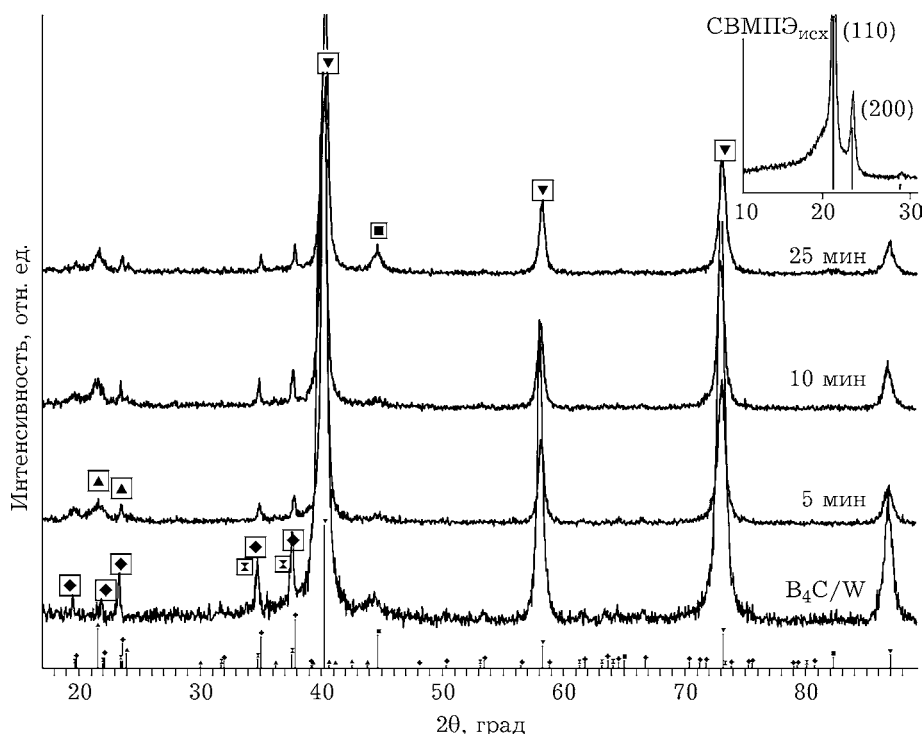


Рис. 1. Дифрактограммы исходных СВМПЭ и  $B_4C/W$  и композитов СВМПЭ/ $B_4C/W$ , сформированных при временах МА 5, 10 и 25 мин.

МА (см. рис. 1), а гало от аморфной части полимера не регистрируется. Дальнейшей фрагментации частиц вольфрама и карбида бора в процессе обработки не происходит. Размер кристаллитов для вольфрама сохраняется на уровне 35–37 нм, а для карбида бора он возрастает примерно до 60–87 нм (табл. 1). Наибольшие изменения в структуре претерпевают железо и карбид бора. Параметр  $a$  решетки железа возрастает с 2.866 до 2.879 Å, что, возможно, связано с образованием твердых растворов. Его количество в полимерном композите увеличивается до 5 мас. %. По сравнению с данными картотеки № 35-0798, параметры тонкой структуры  $B_4C$  изменяются ( $\Delta a = +0.009$  Å;  $\Delta c = -0.008$  Å), по-видимому, в связи с увеличением количества углерода в карбиде с 18 до 19.6 ат. % [3].

Композиционные частицы состава СВМПЭ/ $B_4C/W$  с преимущественными размерами 160–400 мкм формируются уже на начальном этапе МА. С увеличением длительности МА размер композиционных частиц немного возрастает за счет процессов пластического деформирования. По данным сканирующей электронной микроскопии, измельчения частиц

используемого модификатора  $B_4C/W$  при МА до 25 мин не происходит (рис. 2 и 3). Частицы карбида бора сохраняют размеры 1–5 мкм, а частицы вольфрама и железа с размерами

#### ТАБЛИЦА 1

Микроструктурные параметры фаз механокомпозита СВМПЭ/ $B_4C/W$

Параметр	$B_4C/W$			
	Исходный	После МА, мин		
	5	10	25	
$B_4C$				
$a$ , Å	5.604	5.608	5.608	5.609
$c$ , Å	12.104	12.099	12.079	12.078
$L$ , нм	46	67	87	60
$\varepsilon_G$	0.2949	0.6004	0.4002	0.2778
$\alpha\text{-Fe}$				
$a$ , Å	2.866	2.879	2.874	2.873
$L$ , нм	8	57	26	17
$\varepsilon_G$	–	0.01	0.01	1.1032
W				
$a$ , Å	3.166	3.167	3.166	3.166
$L$ , нм	37	37	36	35
$\varepsilon_G$	0.4083	0.5607	0.447	0.4398

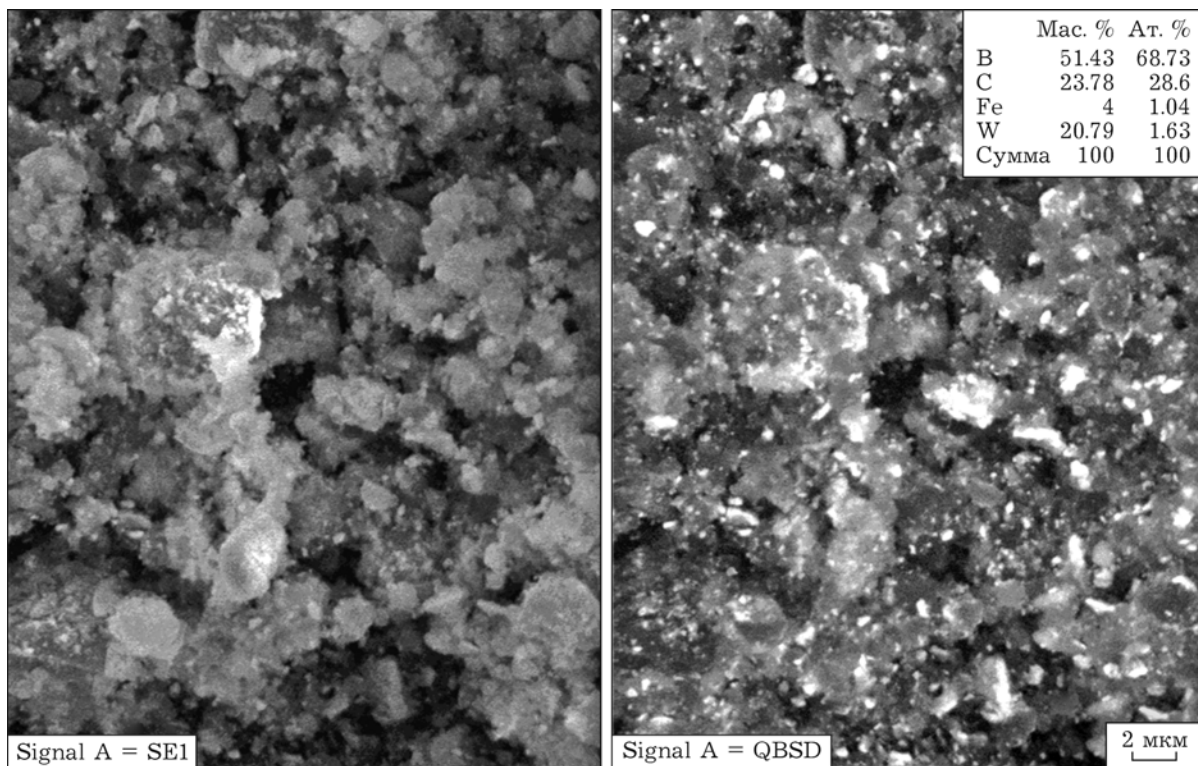


Рис. 2. Композит  $\text{B}_4\text{C}/\text{W}$ . Светлые участки на изображении BSD соответствуют частицам вольфрама и железа.

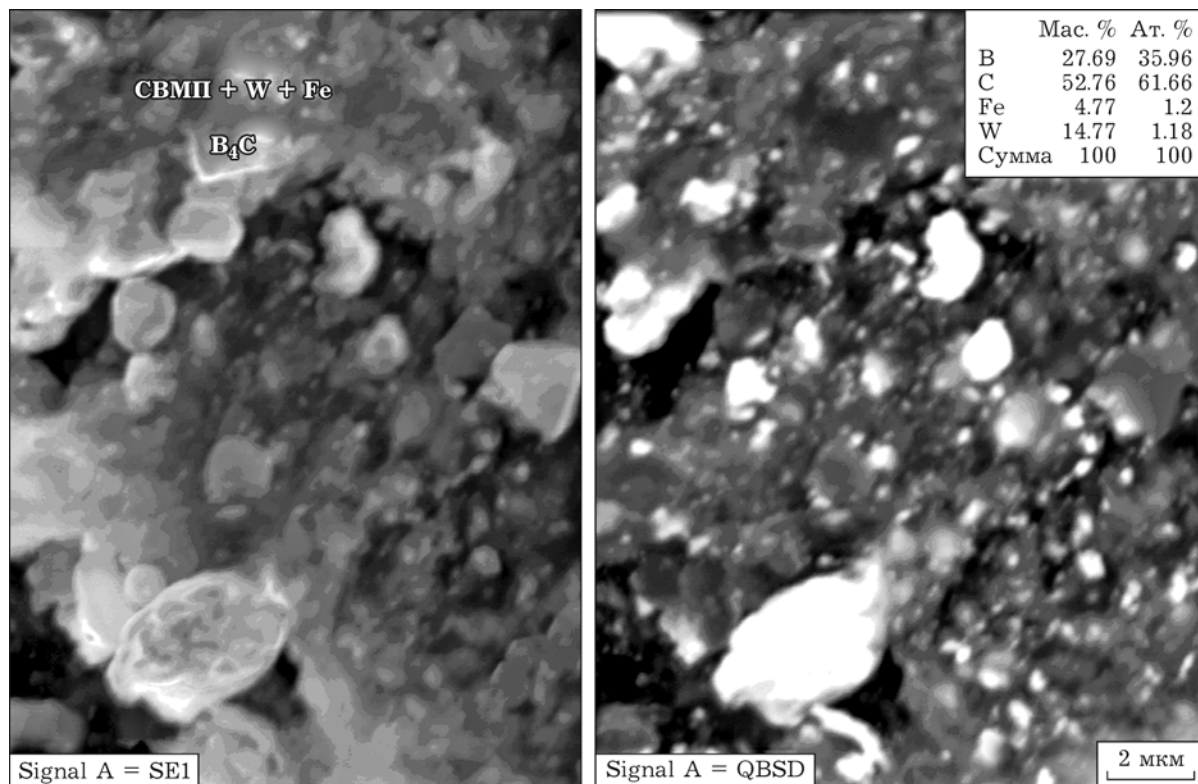


Рис. 3. Композит СВМПЭ/ $\text{B}_4\text{C}/\text{W}$ , сформированный в ходе МА в течение 25 мин.

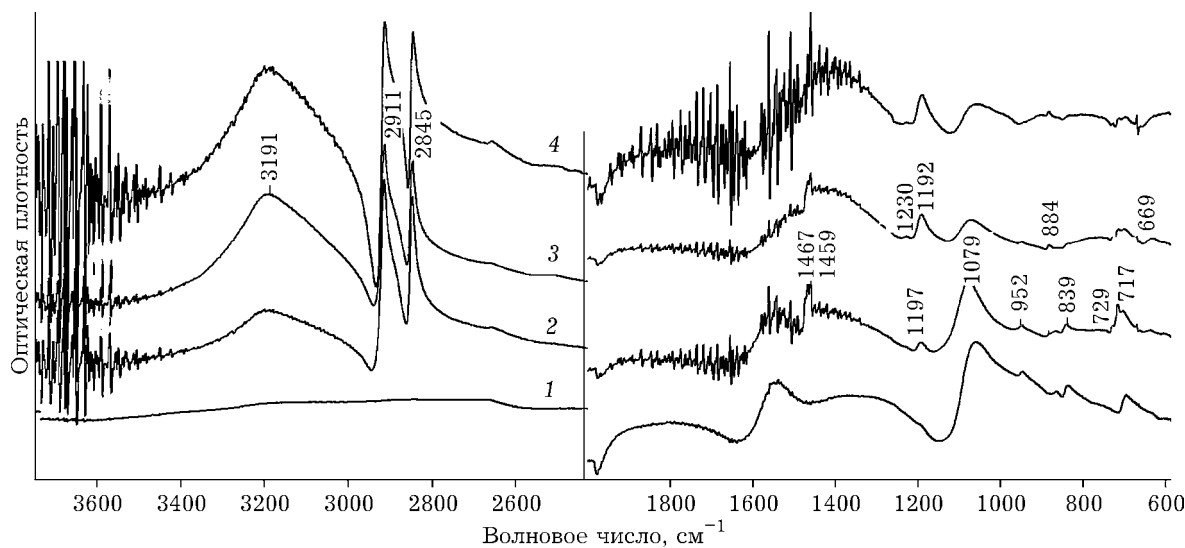


Рис. 4. ИК-Фурье спектры композиционных частиц СВМПЭ/ $B_4C/W$ : 1 –  $B_4C/W$ , 2–4 – механоактивированные в течение 5 (2), 10 (3) и 25 мин (4).

0.1–0.2 и менее 0.08 мкм соответственно распределяются в матрице полимера.

На рис. 4 приведены результаты ИК-исследований химических связей в механокомпозитах  $B_4C/W$  и СВМПЭ/ $B_4C/W$ , полученных при различной длительности МА. Характерные полосы поглощения карбида бора лежат в области волновых чисел 1600–700  $\text{cm}^{-1}$  [4]. После МА в спектре механокомпозита  $B_4C/W$  наблюдаются полосы карбида бора с основными частотами,  $\text{cm}^{-1}$ : 1560 ( $v_{as}$  C–B–C), 1430, 1194 (“плечо”), 1058 ( $v_{as}$  C–B<sub>3</sub>), 946 ( $v_s$  C–B<sub>3</sub>), 866, 837 и 695 ( $v_1$  B12). Содержание углерода в карбиде влияет на положение полос поглощения связи B–C. Сдвиг пиков в низкочастотную область при МА обусловлен снижением количества углерода в карбиде бора и появлением фазы  $B_{6.5}C$ , обогащенной бором. Полоса ~1600  $\text{cm}^{-1}$  приписывается асимметричным валентным колебаниям  $v_{as}$  C–B–C в структуре соединения  $B_{4.3}C$ , а полоса ~1450  $\text{cm}^{-1}$  появляется в более богатых бором композициях  $B_{6.5}C$  в качестве новых мод, возникающих при растяжении и изгибе связей, которые содержат атом C в центральном узле B–C–B или C–C–C [3].

При совместной обработке композита  $B_4C/W$  с полимером полосы поглощения карбида бора сдвигаются в высокочастотную область, что соответствует увеличению содержания углерода в карбиде до стехиометрии  $B_4C$ . Четкий

пик поглощения с максимумом 1194  $\text{cm}^{-1}$  относится к колебаниям связи B–C и обычно наблюдается в образцах поликристаллического карбида бора.

На всех спектрах регистрируются полосы поглощения, характерные для СВМПЭ: дублет (2913 и 2846  $\text{cm}^{-1}$ ), отвечающий за симметричные и асимметричные валентные колебания C–H; дублет (1468 и 1458  $\text{cm}^{-1}$ ), соответствующий деформационным колебаниям C–H; полосы кристалличности (730 и 719  $\text{cm}^{-1}$ ). Однако их интенсивность значительно снижается уже после 5 мин МА, а форма уширяется с появлением низкочастотного плеча, по-видимому, из-за дополнительных межмолекулярных водородных связей, которые образуются в результате деформирования (поперечные швы). С увеличением длительности обработки до 10 и 25 мин полосы кристалличности полиэтилена (730 и 719  $\text{cm}^{-1}$ ) исчезают, по-видимому, из-за нарушения конформационной регулярности макромолекул. Появление полос поглощения 883 и 1420  $\text{cm}^{-1}$  после МА в течение 10 и 25 мин соответственно обусловлено плоскими δ-колебаниями концевых метиленовых групп RR'C=CH<sub>2</sub> [5]. Возможно, рост их интенсивности обусловлен разрывом молекулярных цепей и, следовательно, уменьшением молекулярной массы полимера. Появление и рост интенсивности полос в диапазоне 3000–3300  $\text{cm}^{-1}$  указывают на формиро-

вание оксидных связей В–ОН, поскольку деформационная обработка проводилась в воздушной атмосфере с влажностью до 70 %. В области ИК-спектра 1600–1800 см<sup>-1</sup> нет дополнительных полос, которые бы указывали на формирование кислородсодержащих продуктов термического окисления полимеров.

## ЗАКЛЮЧЕНИЕ

Таким образом, совместная обработка в планетарной мельнице полимера СВМПЭ и механокомпозита В<sub>4</sub>С/W приводит к формированию полимерных композиционных частиц чешуйчатой формы с равномерным распределением в полимерной матрице частиц карбида бора и вольфрама с размерами 1–5 и 0.1–0.2 мкм соответственно. В результате изменяются параметры тонкой структуры карбида бора В<sub>4</sub>С. Основные возможные результаты взаимодействия полимерной матрицы и

дисперсных порошков модификатора при МА – сшивка, т. е. образование поперечно сшитых структур, и деструкция полимера с уменьшением его молекулярной массы.

Работа выполнена в рамках совместного проекта БРФФИ-РФФИ при финансовой поддержке БРФФИ (проект Т18Р-187) и РФФИ (проект 18-53-00029).

## СПИСОК ЛИТЕРАТУРЫ

- 1 Охлопкова А. А., Петрова П. Н., Попов С. Н., Слепцова С. А. // Рос. хим. журн. (Ж. Рос. хим. об-ва им. Д. И. Менделеева). 2008. Т. LII. С. 147–152.
- 2 Wannasri S., Panina S. V., Ivanova L. R., Kornienko L. A., Piriayona S. // Proc. Eng.. 2009. Vol. 1. P. 67–70.
- 3 Domnich V., Reynaud S., Haber R. A., Chhowalla M. // J. Am. Ceram. Soc. 2011. Vol. 94. P. 3605–3628.
- 4 Лифшиц Е. В., Шевякова Э. П., Остапенко И. Т., Березняк Е. П., Саенко Л. А. // Вопр. атомной науки и техники. 2004. № 3. С. 19–22.
- 5 Дехант И., Данц Р., Киммер В., Шмольке Р. Инфракрасная спектроскопия полимеров / под ред. Э. Ф. Олейника М.: Химия, 1976. 472 с.